Siehe ähnliche Dateien: http://www.ps.bam.de/NG59/
Technische Information: http://www.ps.bam.de Version 2.1, io=1,1

BAM-Registrierung: 20060101-NG59/10S/S59G00NP.PS/.PDF BAM-Material: Code=rha4ta
Anwendung für Beurteilung und Messung von Drucker– oder Monitorsystemen
/NG59/ Form: 1/10, Serie: 1/1, Seite: 1 Sattenz hlung 1

Eingabe: Farbmetrisches Fernseh-Licht-System TLS18

für Buntton *h = lab*h = 35/360 = 0.097**
lab*tch* und *lab*nch

D65: Buntton O
LCH*Ma: 53 87 35
olv*Ma: 1.0 0.0 0.0

Dreiecks-Helligkeit *t**

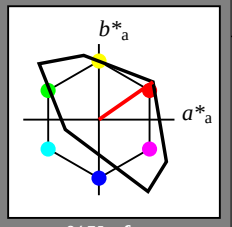

%Umfang

u*rel = 118

TLS18; adaptierte CIELAB-Daten

	L*=L*a	a*a	b*a	C*ab,a	h*ab,a
O_{Ma}	52.76	71.63	49.88	87.29	35
Y_{Ma}	92.74	−20.02	84.97	87.3	103
L_{Ma}	84.0	−78.98	73.94	108.2	137
C_{Ma}	87.14	−44.41	−13.11	46.32	196
V_{Ma}	35.47	64.92	−95.06	115.12	304
M_{Ma}	59.01	89.33	−55.67	105.26	328
N_{Ma}	18.01	0.0	0.0	0.0	0
W_{Ma}	95.41	0.0	0.0	0.0	0
R_{CIE}	39.92	58.74	27.99	65.07	25
J_{CIE}	81.26	−2.88	71.56	71.62	92
G_{CIE}	52.23	−42.41	13.6	44.55	162
B_{CIE}	30.57	1.41	−46.46	46.49	272

%Regularität

g*H,rel = 22

g*C,rel = 40

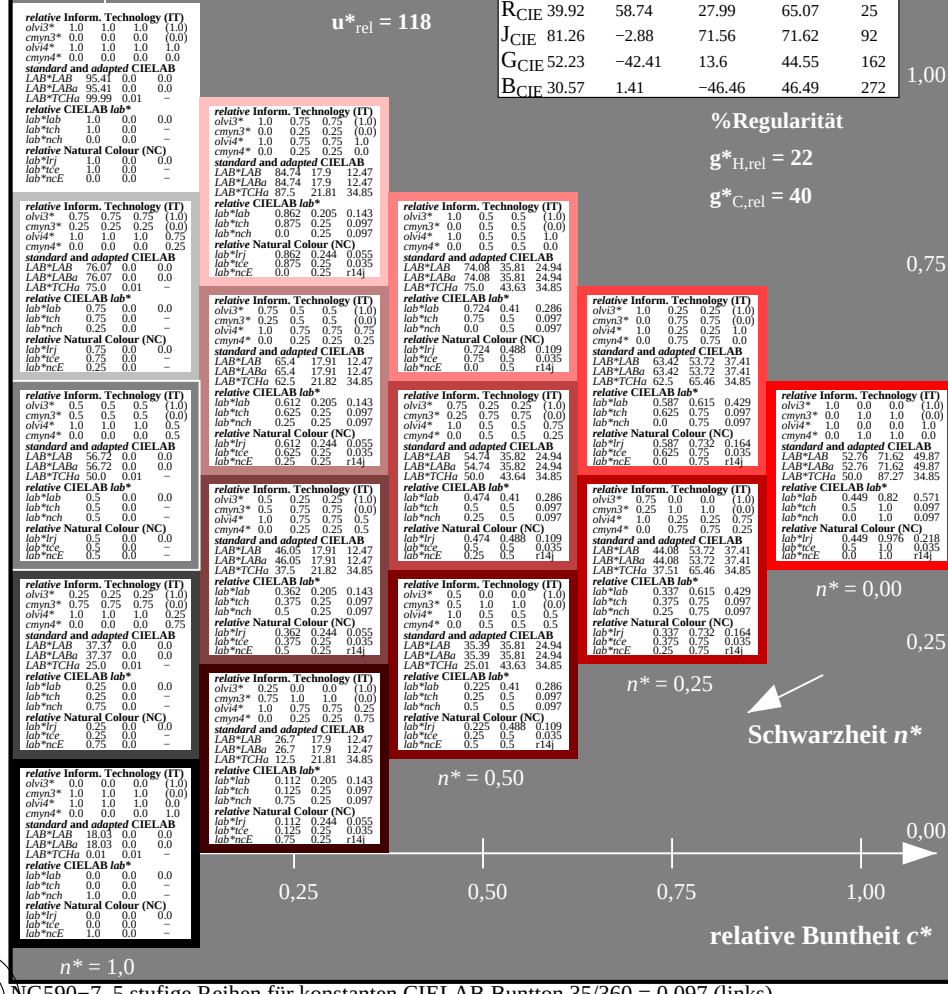

NG590−7, 5 stufige Reihen für konstanten CIELAB Buntton 35/360 = 0.097 (links)

Ausgabe: Farbmetrisches Fernseh-Licht-System TLS18

für Buntton *h = lab*h = 35/360 = 0.097**
lab*tch* und *lab*nch

D65: Buntton O
LCH*Ma: 53 87 35
olv*Ma: 1.0 0.0 0.0

Dreiecks-Helligkeit *t**

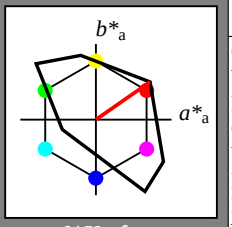

%Umfang

u*rel = 118

TLS18; adaptierte CIELAB-Daten

	L*=L*a	a*a	b*a	C*ab,a	h*ab,a
O_{Ma}	52.76	71.63	49.88	87.29	35
Y_{Ma}	92.74	−20.02	84.97	87.3	103
L_{Ma}	84.0	−78.98	73.94	108.2	137
C_{Ma}	87.14	−44.41	−13.11	46.32	196
V_{Ma}	35.47	64.92	−95.06	115.12	304
M_{Ma}	59.01	89.33	−55.67	105.26	328
N_{Ma}	18.01	0.0	0.0	0.0	0
W_{Ma}	95.41	0.0	0.0	0.0	0
R_{CIE}	39.92	58.74	27.99	65.07	25
J_{CIE}	81.26	−2.88	71.56	71.62	92
G_{CIE}	52.23	−42.41	13.6	44.55	162
B_{CIE}	30.57	1.41	−46.46	46.49	272

%Regularität

g*H,rel = 22

g*C,rel = 40

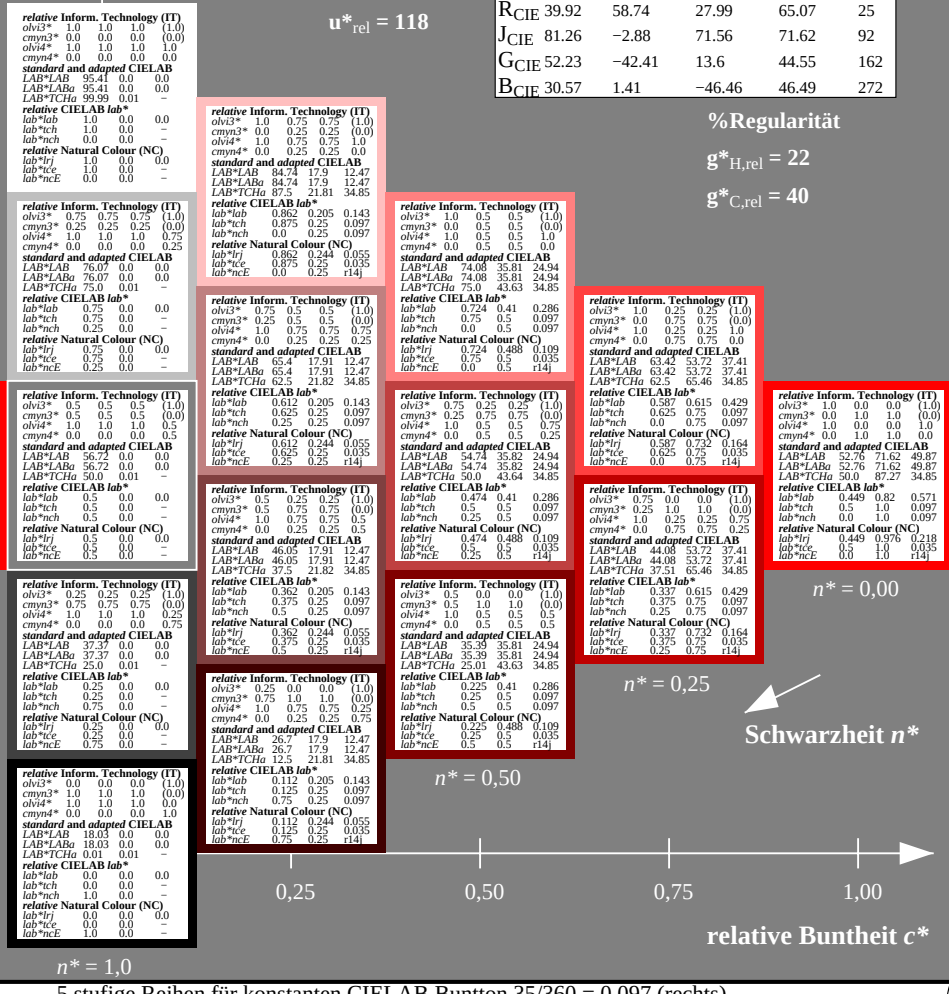

5 stufige Reihen für konstanten CIELAB Buntton 35/360 = 0.097 (rechts)

Siehe ähnliche Dateien: http://www.ps.bam.de/NG59/
Technische Information: http://www.ps.bam.de Version 2.1, io=1,1

BAM-Registrierung: 20060101-NG59/10S/S59G01NP.PS/.PDF BAM-Material: Code=rha4ta
Anwendung für Beurteilung und Messung von Drucker– oder Monitorsystemen

/NG59/ Form: 2/10, Serie: 1/1, Seite: 2 Sattenz hlung 2

Eingabe: Farbmetrisches Fernseh-Licht-System TLS18

für Buntton *h* = lab*h = 103/360 = 0.287*
lab*tch* und *lab*nch

D65: Buntton Y
LCH*Ma: 93 87 103
olv*Ma: 1.0 1.0 0.0

Dreiecks-Helligkeit *t**

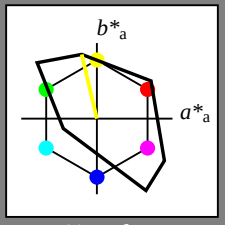

%Umfang

u^*_{rel} = 118

TLS18; adaptierte CIELAB-Daten

	$L^*=L^*_a$	a^*_a	b^*_a	$C^*_{ab,a}$	$h^*_{ab,a}$
O_{Ma}	52.76	71.63	49.88	87.29	35
Y_{Ma}	92.74	−20.02	84.97	87.3	103
L_{Ma}	84.0	−78.98	73.94	108.2	137
C_{Ma}	87.14	−44.41	−13.11	46.32	196
V_{Ma}	35.47	64.92	−95.06	115.12	304
M_{Ma}	59.01	89.33	−55.67	105.26	328
N_{Ma}	18.01	0.0	0.0	0.0	0
W_{Ma}	95.41	0.0	0.0	0.0	0
R_{CIE}	39.92	58.74	27.99	65.07	25
J_{CIE}	81.26	−2.88	71.56	71.62	92
G_{CIE}	52.23	−42.41	13.6	44.55	162
B_{CIE}	30.57	1.41	−46.46	46.49	272

%Regularität

$g^*_{H,rel}$ = 22

$g^*_{C,rel}$ = 40

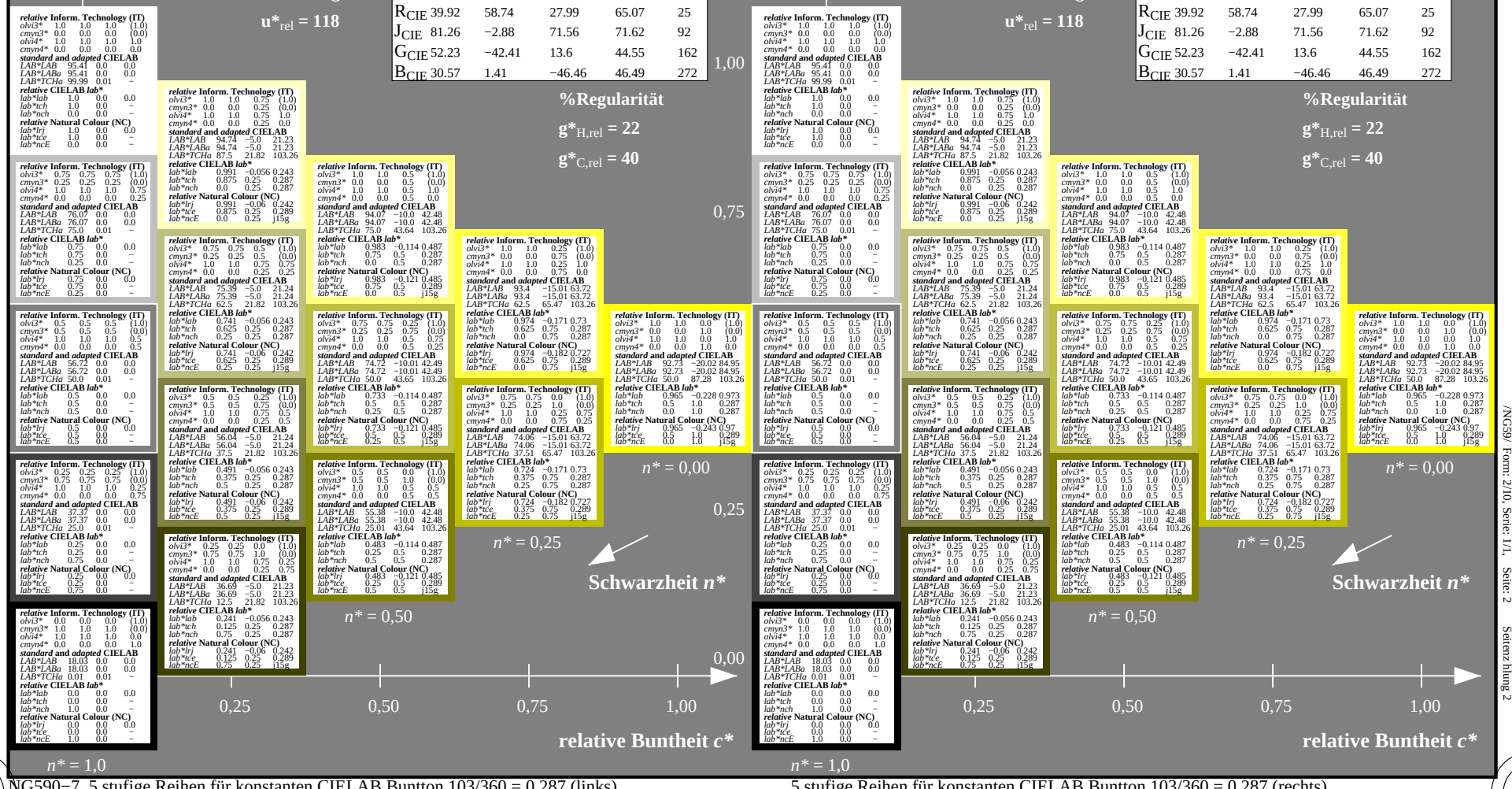

NG590−7, 5 stufige Reihen für konstanten CIELAB Buntton 103/360 = 0.287 (links)

Ausgabe: Farbmetrisches Fernseh-Licht-System TLS18

für Buntton *h* = lab*h = 103/360 = 0.287*
lab*tch* und *lab*nch

D65: Buntton Y
LCH*Ma: 93 87 103
olv*Ma: 1.0 1.0 0.0

Dreiecks-Helligkeit *t**

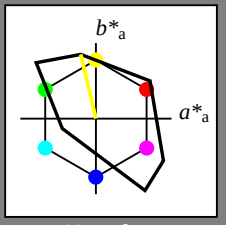

%Umfang

u^*_{rel} = 118

TLS18; adaptierte CIELAB-Daten

	$L^*=L^*_a$	a^*_a	b^*_a	$C^*_{ab,a}$	$h^*_{ab,a}$
O_{Ma}	52.76	71.63	49.88	87.29	35
Y_{Ma}	92.74	−20.02	84.97	87.3	103
L_{Ma}	84.0	−78.98	73.94	108.2	137
C_{Ma}	87.14	−44.41	−13.11	46.32	196
V_{Ma}	35.47	64.92	−95.06	115.12	304
M_{Ma}	59.01	89.33	−55.67	105.26	328
N_{Ma}	18.01	0.0	0.0	0.0	0
W_{Ma}	95.41	0.0	0.0	0.0	0
R_{CIE}	39.92	58.74	27.99	65.07	25
J_{CIE}	81.26	−2.88	71.56	71.62	92
G_{CIE}	52.23	−42.41	13.6	44.55	162
B_{CIE}	30.57	1.41	−46.46	46.49	272

%Regularität

$g^*_{H,rel}$ = 22

$g^*_{C,rel}$ = 40

5 stufige Reihen für konstanten CIELAB Buntton 103/360 = 0.287 (rechts)

BAM-Prüfvorlage NG59; Farbmetrik-Systeme TLS18 & TLS18 input: *olv* setrgbcolor*
D65: 2 Koordinatendaten; 5stufige Farbreihen für 10 Bunttöne output: *no change compared to input*

Eingabe: Farbmetrisches Fernseh-Licht-System TLS18

für Buntton *h* = lab*h = 137/360 = 0.38*
lab*tch* und *lab*nch

D65: Buntton L
LCH*Ma: 84 108 137
olv*Ma: 0.0 1.0 0.0

Dreiecks-Helligkeit *t**

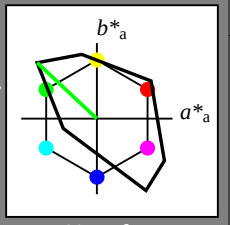

%Umfang

u^*_{rel} = 118

TLS18; adaptierte CIELAB-Daten

	$L^*=L^*_a$	a^*_a	b^*_a	$C^*_{ab,a}$	$h^*_{ab,a}$
O_{Ma}	52.76	71.63	49.88	87.29	35
Y_{Ma}	92.74	−20.02	84.97	87.3	103
L_{Ma}	84.0	−78.98	73.94	108.2	137
C_{Ma}	87.14	−44.41	−13.11	46.32	196
V_{Ma}	35.47	64.92	−95.06	115.12	304
M_{Ma}	59.01	89.33	−55.67	105.26	328
N_{Ma}	18.01	0.0	0.0	0.0	0
W_{Ma}	95.41	0.0	0.0	0.0	0
R_{CIE}	39.92	58.74	27.99	65.07	25
J_{CIE}	81.26	−2.88	71.56	71.62	92
G_{CIE}	52.23	−42.41	13.6	44.55	162
B_{CIE}	30.57	1.41	−46.46	46.49	272

%Regularität

$g^*_{H,rel}$ = 22

$g^*_{C,rel}$ = 40

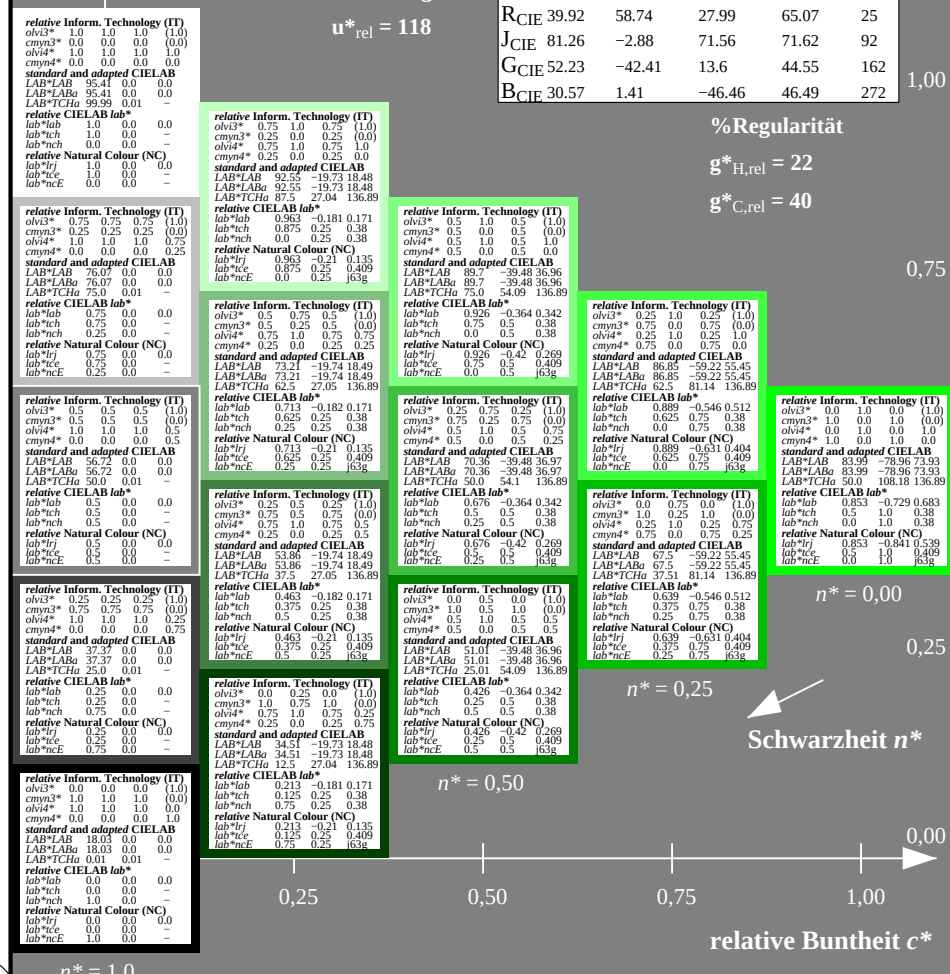

Ausgabe: Farbmetrisches Fernseh-Licht-System TLS18

für Buntton *h* = lab*h = 137/360 = 0.38*
lab*tch* und *lab*nch

D65: Buntton L
LCH*Ma: 84 108 137
olv*Ma: 0.0 1.0 0.0

Dreiecks-Helligkeit *t**

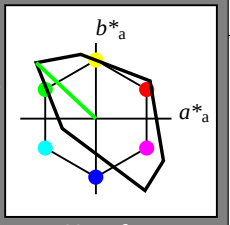

%Umfang

u^*_{rel} = 118

TLS18; adaptierte CIELAB-Daten

	$L^*=L^*_a$	a^*_a	b^*_a	$C^*_{ab,a}$	$h^*_{ab,a}$
O_{Ma}	52.76	71.63	49.88	87.29	35
Y_{Ma}	92.74	−20.02	84.97	87.3	103
L_{Ma}	84.0	−78.98	73.94	108.2	137
C_{Ma}	87.14	−44.41	−13.11	46.32	196
V_{Ma}	35.47	64.92	−95.06	115.12	304
M_{Ma}	59.01	89.33	−55.67	105.26	328
N_{Ma}	18.01	0.0	0.0	0.0	0
W_{Ma}	95.41	0.0	0.0	0.0	0
R_{CIE}	39.92	58.74	27.99	65.07	25
J_{CIE}	81.26	−2.88	71.56	71.62	92
G_{CIE}	52.23	−42.41	13.6	44.55	162
B_{CIE}	30.57	1.41	−46.46	46.49	272

%Regularität

$g^*_{H,rel}$ = 22

$g^*_{C,rel}$ = 40

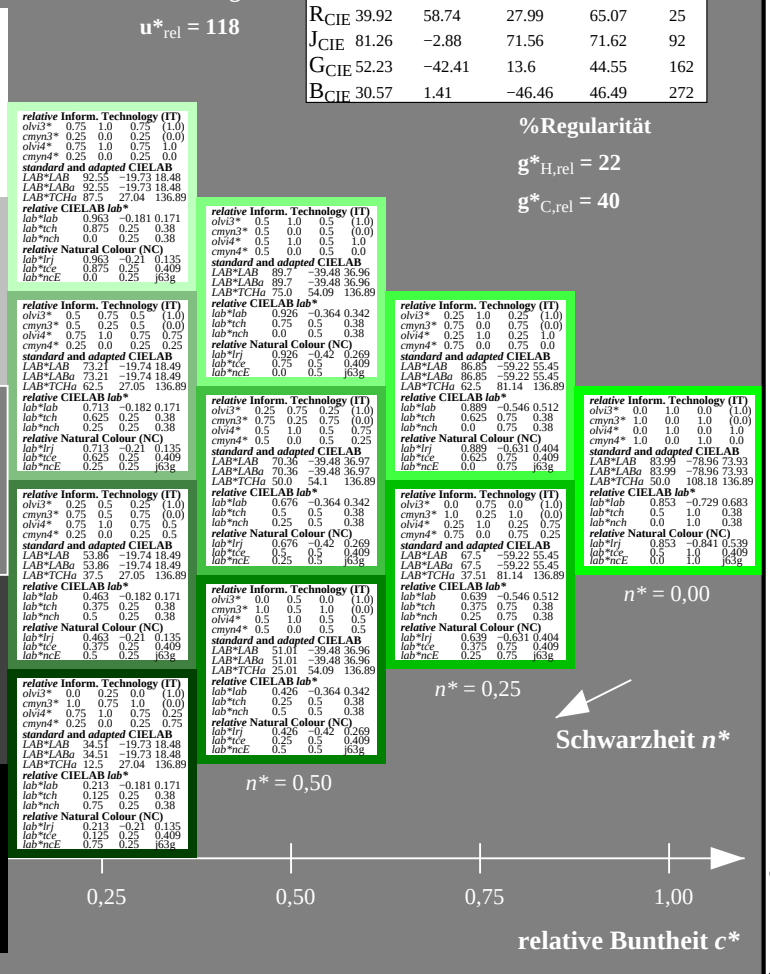

NG590−7, 5 stufige Reihen für konstanten CIELAB Buntton 137/360 = 0.38 (links)

5 stufige Reihen für konstanten CIELAB Buntton 137/360 = 0.38 (rechts)

BAM-Prüfvorlage NG59; Farbmetrik-Systeme TLS18 & TLS18 input: *olv* setrgbcolor*
D65: 2 Koordinatendaten; 5stufige Farbreihen für 10 Bunttöne output: *no change compared to input*

Siehe ähnliche Dateien: http://www.ps.bam.de/NG59/
Technische Information: http://www.ps.bam.de Version 2.1, io=1,1

BAM-Registrierung: 20060101-NG59/10S/S59G02NP.PS/.PDF BAM-Material: Code=rha4ta
Anwendung für Beurteilung und Messung von Drucker− oder Monitorsystemen
/NG59/ Form: 3/10, Serie: 1/1, Seite: 3 Sattenz hlung 3

Eingabe: Farbmetrisches Fernseh-Licht-System TLS18

für Buntton *h* = lab*h = 196/360 = 0.546*
lab*tch* und *lab*nch

D65: Buntton C
LCH*Ma: 87 46 196
olv*Ma: 0.0 1.0 1.0

Dreiecks-Helligkeit *t**

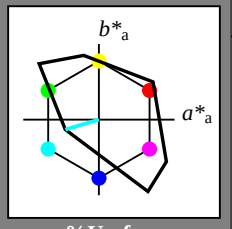

%Umfang

u^*_{rel} = 118

TLS18; adaptierte CIELAB-Daten

	$L^*=L^*_a$	a^*_a	b^*_a	$C^*_{ab,a}$	$h^*_{ab,a}$
O_{Ma}	52.76	71.63	49.88	87.29	35
Y_{Ma}	92.74	−20.02	84.97	87.3	103
L_{Ma}	84.0	−78.98	73.94	108.2	137
C_{Ma}	87.14	−44.41	−13.11	46.32	196
V_{Ma}	35.47	64.92	−95.06	115.12	304
M_{Ma}	59.01	89.33	−55.67	105.26	328
N_{Ma}	18.01	0.0	0.0	0.0	0
W_{Ma}	95.41	0.0	0.0	0.0	0
R_{CIE}	39.92	58.74	27.99	65.07	25
J_{CIE}	81.26	−2.88	71.56	71.62	92
G_{CIE}	52.23	−42.41	13.6	44.55	162
B_{CIE}	30.57	1.41	−46.46	46.49	272

%Regularität

$g^*_{H,rel}$ = 22

$g^*_{C,rel}$ = 40

1,00

0,75

0,25

0,00

0,25 0,50 0,75 1,00

relative Buntheit *c**

Schwarzheit *n**

*n** = 1,0 *n** = 0,50 *n** = 0,25 *n** = 0,00

Ausgabe: Farbmetrisches Fernseh-Licht-System TLS18

für Buntton *h* = lab*h = 196/360 = 0.546*
lab*tch* und *lab*nch

D65: Buntton C
LCH*Ma: 87 46 196
olv*Ma: 0.0 1.0 1.0

Dreiecks-Helligkeit *t**

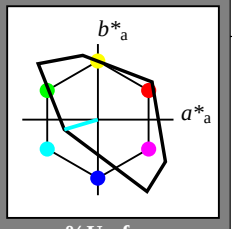

%Umfang

u^*_{rel} = 118

TLS18; adaptierte CIELAB-Daten

	$L^*=L^*_a$	a^*_a	b^*_a	$C^*_{ab,a}$	$h^*_{ab,a}$
O_{Ma}	52.76	71.63	49.88	87.29	35
Y_{Ma}	92.74	−20.02	84.97	87.3	103
L_{Ma}	84.0	−78.98	73.94	108.2	137
C_{Ma}	87.14	−44.41	−13.11	46.32	196
V_{Ma}	35.47	64.92	−95.06	115.12	304
M_{Ma}	59.01	89.33	−55.67	105.26	328
N_{Ma}	18.01	0.0	0.0	0.0	0
W_{Ma}	95.41	0.0	0.0	0.0	0
R_{CIE}	39.92	58.74	27.99	65.07	25
J_{CIE}	81.26	−2.88	71.56	71.62	92
G_{CIE}	52.23	−42.41	13.6	44.55	162
B_{CIE}	30.57	1.41	−46.46	46.49	272

%Regularität

$g^*_{H,rel}$ = 22

$g^*_{C,rel}$ = 40

0,25 0,50 0,75 1,00

relative Buntheit *c**

Schwarzheit *n**

*n** = 1,0 *n** = 0,50 *n** = 0,25 *n** = 0,00

Siehe ähnliche Dateien: http://www.ps.bam.de/NG59/
Technische Information: http://www.ps.bam.de Version 2.1, io=1,1

BAM-Registrierung: 20060101-NG59/10S/S59G03NP.PS/.PDF BAM-Material: Code=rha4ta
Anwendung für Beurteilung und Messung von Drucker− oder Monitorsystemen
/NG59/ Form: 4/10, Serie: 1/1, Seite: 4 Seitenz hlung 4

NG590−7, 5 stufige Reihen für konstanten CIELAB Buntton 196/360 = 0.546 (links)
5 stufige Reihen für konstanten CIELAB Buntton 196/360 = 0.546 (rechts)

BAM-Prüfvorlage NG59; Farbmetrik-Systeme TLS18 & TLS18 input: *olv* setrgbcolor*
D65: 2 Koordinatendaten; 5stufige Farbreihen für 10 Bunttöne output: *no change compared to input*

Siehe ähnliche Dateien: http://www.ps.bam.de/NG59/
Technische Information: http://www.ps.bam.de Version 2.1, io=1,1

Eingabe: Farbmetrisches Fernseh-Licht-System TLS18
für Buntton $h^* = lab^*h = 304/360 = 0.845$
lab*tch* und *lab*nch

D65: Buntton V
LCH*Ma: 35 115 304
olv*Ma: 0.0 0.0 1.0

Dreiecks-Helligkeit t^*

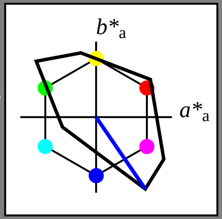

%Umfang
u^*_{rel} = 118

TLS18; adaptierte CIELAB-Daten

	$L^*=L^*_a$	a^*_a	b^*_a	$C^*_{ab,a}$	$h^*_{ab,a}$
O_{Ma}	52.76	71.63	49.88	87.29	35
Y_{Ma}	92.74	−20.02	84.97	87.3	103
L_{Ma}	84.0	−78.98	73.94	108.2	137
C_{Ma}	87.14	−44.41	−13.11	46.32	196
V_{Ma}	35.47	64.92	−95.06	115.12	304
M_{Ma}	59.01	89.33	−55.67	105.26	328
N_{Ma}	18.01	0.0	0.0	0.0	0
W_{Ma}	95.41	0.0	0.0	0.0	0
R_{CIE}	39.92	58.74	27.99	65.07	25
J_{CIE}	81.26	−2.88	71.56	71.62	92
G_{CIE}	52.23	−42.41	13.6	44.55	162
B_{CIE}	30.57	1.41	−46.46	46.49	272

%Regularität
$g^*_{H,rel}$ = 22
$g^*_{C,rel}$ = 40

1,00
0,75
0,50
0,25
0,00

n^* = 0,00
n^* = 0,25
n^* = 0,50
n^* = 1,0

Schwarzheit n^*

0,25 0,50 0,75 1,00

relative Buntheit c^*

Ausgabe: Farbmetrisches Fernseh-Licht-System TLS18
für Buntton $h^* = lab^*h = 304/360 = 0.845$
lab*tch* und *lab*nch

D65: Buntton V
LCH*Ma: 35 115 304
olv*Ma: 0.0 0.0 1.0

Dreiecks-Helligkeit t^*

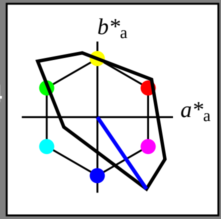

%Umfang
u^*_{rel} = 118

TLS18; adaptierte CIELAB-Daten

	$L^*=L^*_a$	a^*_a	b^*_a	$C^*_{ab,a}$	$h^*_{ab,a}$
O_{Ma}	52.76	71.63	49.88	87.29	35
Y_{Ma}	92.74	−20.02	84.97	87.3	103
L_{Ma}	84.0	−78.98	73.94	108.2	137
C_{Ma}	87.14	−44.41	−13.11	46.32	196
V_{Ma}	35.47	64.92	−95.06	115.12	304
M_{Ma}	59.01	89.33	−55.67	105.26	328
N_{Ma}	18.01	0.0	0.0	0.0	0
W_{Ma}	95.41	0.0	0.0	0.0	0
R_{CIE}	39.92	58.74	27.99	65.07	25
J_{CIE}	81.26	−2.88	71.56	71.62	92
G_{CIE}	52.23	−42.41	13.6	44.55	162
B_{CIE}	30.57	1.41	−46.46	46.49	272

%Regularität
$g^*_{H,rel}$ = 22
$g^*_{C,rel}$ = 40

n^* = 0,00
n^* = 0,25
n^* = 0,50
n^* = 1,0

Schwarzheit n^*

0,25 0,50 0,75 1,00

relative Buntheit c^*

NG590−7, 5 stufige Reihen für konstanten CIELAB Buntton 304/360 = 0.845 (links)
5 stufige Reihen für konstanten CIELAB Buntton 304/360 = 0.845 (rechts)

BAM-Registrierung: 20060101-NG59/10S/S59G04NP.PS/.PDF BAM-Material: Code=rha4ta
Anwendung für Beurteilung und Messung von Drucker- oder Monitorsystemen

BAM-Prüfvorlage NG59; Farbmetrik-Systeme TLS18 & TLS18 input: *olv* setrgbcolor*
D65: 2 Koordinatendaten; 5stufige Farbreihen für 10 Bunttöne output: *no change compared to input*

Eingabe: Farbmetrisches Fernseh-Licht-System TLS18

für Buntton $h^* = lab^*h = 328/360 = 0.911$

lab*tch* und *lab*nch

D65: Buntton M

LCH*Ma: 59 105 328

olv*Ma: 1.0 0.0 1.0

Dreiecks-Helligkeit t^*

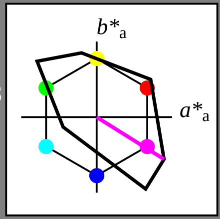

%Umfang

$u^*_{rel} = 118$

TLS18; adaptierte CIELAB-Daten

	$L^*=L^*_a$	a^*_a	b^*_a	$C^*_{ab,a}$	$h^*_{ab,a}$
O_{Ma}	52.76	71.63	49.88	87.29	35
Y_{Ma}	92.74	−20.02	84.97	87.3	103
L_{Ma}	84.0	−78.98	73.94	108.2	137
C_{Ma}	87.14	−44.41	−13.11	46.32	196
V_{Ma}	35.47	64.92	−95.06	115.12	304
M_{Ma}	59.01	89.33	−55.67	105.26	328
N_{Ma}	18.01	0.0	0.0	0.0	0
W_{Ma}	95.41	0.0	0.0	0.0	0
R_{CIE}	39.92	58.74	27.99	65.07	25
J_{CIE}	81.26	−2.88	71.56	71.62	92
G_{CIE}	52.23	−42.41	13.6	44.55	162
B_{CIE}	30.57	1.41	−46.46	46.49	272

%Regularität

$g^*_{H,rel} = 22$

$g^*_{C,rel} = 40$

1,00 0,75 0,25 0,00

$n^* = 0,00$ $n^* = 0,25$ $n^* = 0,50$ $n^* = 1,0$

Schwarzheit n^*

0,25 0,50 0,75 1,00

relative Buntheit c^*

Ausgabe: Farbmetrisches Fernseh-Licht-System TLS18

für Buntton $h^* = lab^*h = 328/360 = 0.911$

lab*tch* und *lab*nch

D65: Buntton M

LCH*Ma: 59 105 328

olv*Ma: 1.0 0.0 1.0

Dreiecks-Helligkeit t^*

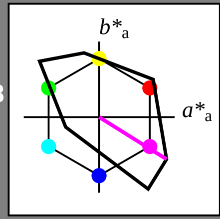

%Umfang

$u^*_{rel} = 118$

TLS18; adaptierte CIELAB-Daten

	$L^*=L^*_a$	a^*_a	b^*_a	$C^*_{ab,a}$	$h^*_{ab,a}$
O_{Ma}	52.76	71.63	49.88	87.29	35
Y_{Ma}	92.74	−20.02	84.97	87.3	103
L_{Ma}	84.0	−78.98	73.94	108.2	137
C_{Ma}	87.14	−44.41	−13.11	46.32	196
V_{Ma}	35.47	64.92	−95.06	115.12	304
M_{Ma}	59.01	89.33	−55.67	105.26	328
N_{Ma}	18.01	0.0	0.0	0.0	0
W_{Ma}	95.41	0.0	0.0	0.0	0
R_{CIE}	39.92	58.74	27.99	65.07	25
J_{CIE}	81.26	−2.88	71.56	71.62	92
G_{CIE}	52.23	−42.41	13.6	44.55	162
B_{CIE}	30.57	1.41	−46.46	46.49	272

%Regularität

$g^*_{H,rel} = 22$

$g^*_{C,rel} = 40$

$n^* = 0,00$ $n^* = 0,25$ $n^* = 0,50$ $n^* = 1,0$

Schwarzheit n^*

0,25 0,50 0,75 1,00

relative Buntheit c^*

NG590−7, 5 stufige Reihen für konstanten CIELAB Buntton 328/360 = 0.911 (links) 5 stufige Reihen für konstanten CIELAB Buntton 328/360 = 0.911 (rechts)

Siehe ähnliche Dateien: http://www.ps.bam.de/NG59/
Technische Information: http://www.ps.bam.de Version 2.1, io=1,1

BAM-Registrierung: 20060101-NG59/10S/S59G05NP.PS/.PDF BAM-Material: Code=rha4ta
Anwendung für Beurteilung und Messung von Drucker− oder Monitorsystemen

/NG59/ Form: 6/10, Serie: 1/1, Seite: 6 Seitenz hlung 6

Siehe ähnliche Dateien: http://www.ps.bam.de/NG59/
Technische Information: http://www.ps.bam.de Version 2.1, io=1,1

BAM-Registrierung: 20060101-NG59/10S/S59G06NP.PS/.PDF BAM-Material: Code=rha4ta
Anwendung für Beurteilung und Messung von Drucker– oder Monitorsystemen
/NG59/ Form: 7/10, Serie: 1/1, Seite: 7 Seitenz hlung 7

Eingabe: Farbmetrisches Fernseh-Licht-System TLS18

für Buntton *h* = lab*h = 25/360 = 0.071*
lab*tch* und *lab*nch

D65: Buntton R
LCH*Ma: 54 82 25
olv*Ma: 1.0 0.0 0.14

Dreiecks-Helligkeit *t**

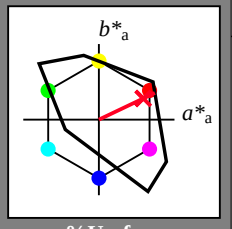

%Umfang

u^*_{rel} = 118

TLS18; adaptierte CIELAB-Daten

	$L^*=L^*_a$	a^*_a	b^*_a	$C^*_{ab,a}$	$h^*_{ab,a}$
O_{Ma}	52.76	71.63	49.88	87.29	35
Y_{Ma}	92.74	−20.02	84.97	87.3	103
L_{Ma}	84.0	−78.98	73.94	108.2	137
C_{Ma}	87.14	−44.41	−13.11	46.32	196
V_{Ma}	35.47	64.92	−95.06	115.12	304
M_{Ma}	59.01	89.33	−55.67	105.26	328
N_{Ma}	18.01	0.0	0.0	0.0	0
W_{Ma}	95.41	0.0	0.0	0.0	0
R_{CIE}	39.92	58.74	27.99	65.07	25
J_{CIE}	81.26	−2.88	71.56	71.62	92
G_{CIE}	52.23	−42.41	13.6	44.55	162
B_{CIE}	30.57	1.41	−46.46	46.49	272

%Regularität

$g^*_{H,rel}$ = 22

$g^*_{C,rel}$ = 40

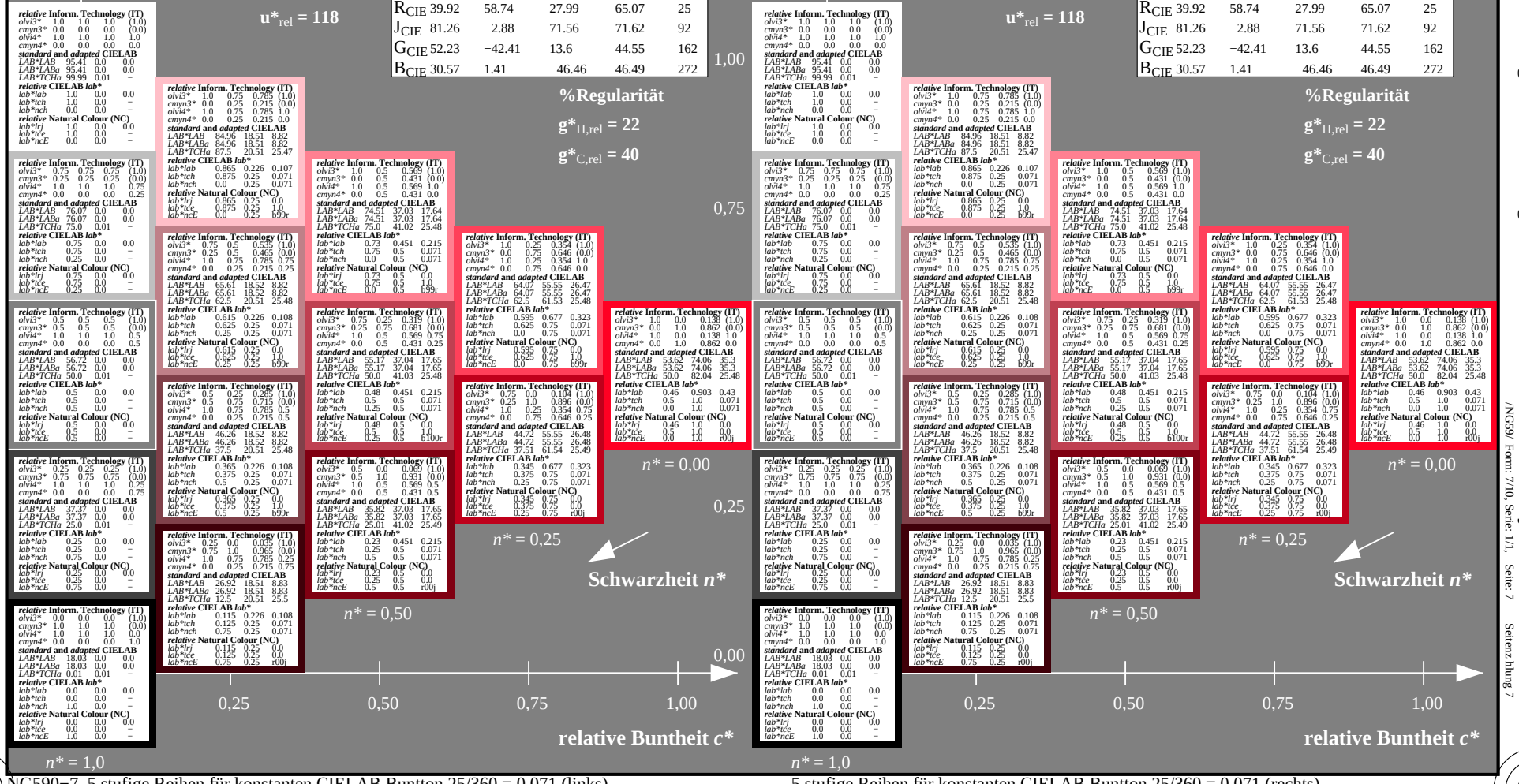

NG590−7, 5 stufige Reihen für konstanten CIELAB Buntton 25/360 = 0.071 (links)

Ausgabe: Farbmetrisches Fernseh-Licht-System TLS18

für Buntton *h* = lab*h = 25/360 = 0.071*
lab*tch* und *lab*nch

D65: Buntton R
LCH*Ma: 54 82 25
olv*Ma: 1.0 0.0 0.14

Dreiecks-Helligkeit *t**

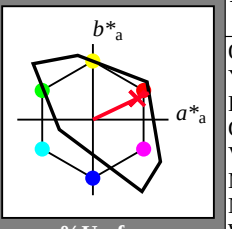

%Umfang

u^*_{rel} = 118

TLS18; adaptierte CIELAB-Daten

	$L^*=L^*_a$	a^*_a	b^*_a	$C^*_{ab,a}$	$h^*_{ab,a}$
O_{Ma}	52.76	71.63	49.88	87.29	35
Y_{Ma}	92.74	−20.02	84.97	87.3	103
L_{Ma}	84.0	−78.98	73.94	108.2	137
C_{Ma}	87.14	−44.41	−13.11	46.32	196
V_{Ma}	35.47	64.92	−95.06	115.12	304
M_{Ma}	59.01	89.33	−55.67	105.26	328
N_{Ma}	18.01	0.0	0.0	0.0	0
W_{Ma}	95.41	0.0	0.0	0.0	0
R_{CIE}	39.92	58.74	27.99	65.07	25
J_{CIE}	81.26	−2.88	71.56	71.62	92
G_{CIE}	52.23	−42.41	13.6	44.55	162
B_{CIE}	30.57	1.41	−46.46	46.49	272

%Regularität

$g^*_{H,rel}$ = 22

$g^*_{C,rel}$ = 40

5 stufige Reihen für konstanten CIELAB Buntton 25/360 = 0.071 (rechts)

BAM-Prüfvorlage NG59; Farbmetrik-Systeme TLS18 & TLS18 input: *olv* setrgbcolor*
D65: 2 Koordinatendaten; 5stufige Farbreihen für 10 Bunttöne output: *no change compared to input*

Siehe ähnliche Dateien: http://www.ps.bam.de/NG59/
Technische Information: http://www.ps.bam.de Version 2.1, io=1,1

BAM-Registrierung: 20060101-NG59/10S/S59G07NP.PS/.PDF BAM-Material: Code=rha4ta
Anwendung für Beurteilung und Messung von Drucker– oder Monitorsystemen
/NG59/ Form: 8/10, Serie: 1/1, Seite: 8 Sattenz hlung 8

Eingabe: Farbmetrisches Fernseh-Licht-System TLS18

für Buntton *h = lab*h = 92/360 = 0.256**
lab*tch* und *lab*nch

D65: Buntton J
LCH*Ma: 85 79 92
olv*Ma: 1.0 0.82 0.0

Dreiecks-Helligkeit *t**

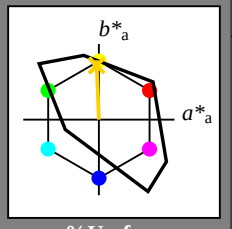

%Umfang

u^*_{rel} = 118

TLS18; adaptierte CIELAB-Daten

	$L^*=L^*_a$	a^*_a	b^*_a	$C^*_{ab,a}$	$h^*_{ab,a}$
O_{Ma}	52.76	71.63	49.88	87.29	35
Y_{Ma}	92.74	−20.02	84.97	87.3	103
L_{Ma}	84.0	−78.98	73.94	108.2	137
C_{Ma}	87.14	−44.41	−13.11	46.32	196
V_{Ma}	35.47	64.92	−95.06	115.12	304
M_{Ma}	59.01	89.33	−55.67	105.26	328
N_{Ma}	18.01	0.0	0.0	0.0	0
W_{Ma}	95.41	0.0	0.0	0.0	0
R_{CIE}	39.92	58.74	27.99	65.07	25
J_{CIE}	81.26	−2.88	71.56	71.62	92
G_{CIE}	52.23	−42.41	13.6	44.55	162
B_{CIE}	30.57	1.41	−46.46	46.49	272

%Regularität

$g^*_{H,rel}$ = 22

$g^*_{C,rel}$ = 40

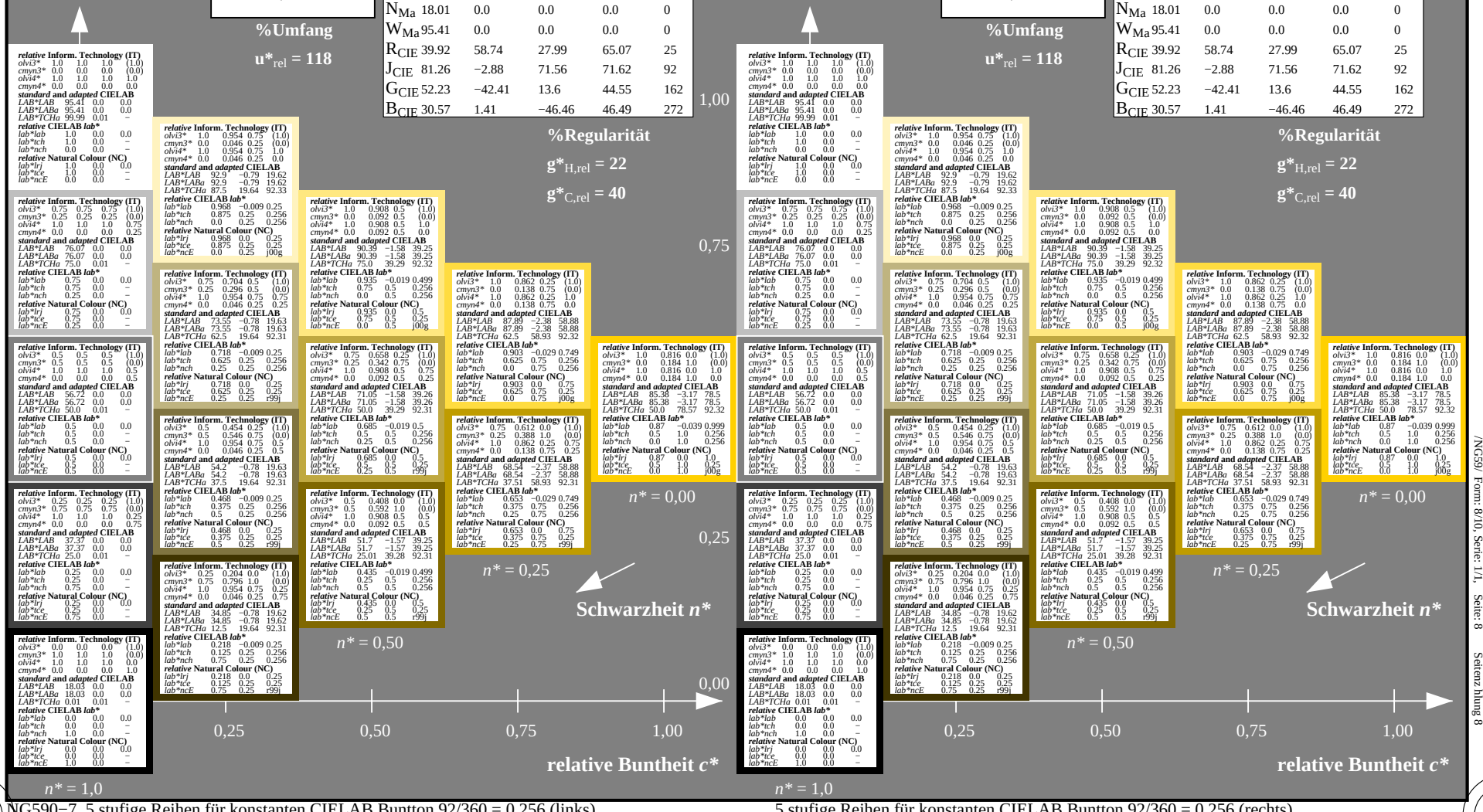

NG590−7, 5 stufige Reihen für konstanten CIELAB Buntton 92/360 = 0.256 (links)

Ausgabe: Farbmetrisches Fernseh-Licht-System TLS18

für Buntton *h = lab*h = 92/360 = 0.256**
lab*tch* und *lab*nch

D65: Buntton J
LCH*Ma: 85 79 92
olv*Ma: 1.0 0.82 0.0

Dreiecks-Helligkeit *t**

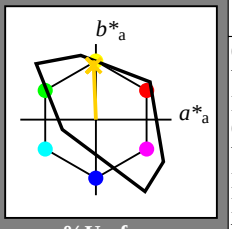

%Umfang

u^*_{rel} = 118

TLS18; adaptierte CIELAB-Daten

	$L^*=L^*_a$	a^*_a	b^*_a	$C^*_{ab,a}$	$h^*_{ab,a}$
O_{Ma}	52.76	71.63	49.88	87.29	35
Y_{Ma}	92.74	−20.02	84.97	87.3	103
L_{Ma}	84.0	−78.98	73.94	108.2	137
C_{Ma}	87.14	−44.41	−13.11	46.32	196
V_{Ma}	35.47	64.92	−95.06	115.12	304
M_{Ma}	59.01	89.33	−55.67	105.26	328
N_{Ma}	18.01	0.0	0.0	0.0	0
W_{Ma}	95.41	0.0	0.0	0.0	0
R_{CIE}	39.92	58.74	27.99	65.07	25
J_{CIE}	81.26	−2.88	71.56	71.62	92
G_{CIE}	52.23	−42.41	13.6	44.55	162
B_{CIE}	30.57	1.41	−46.46	46.49	272

%Regularität

$g^*_{H,rel}$ = 22

$g^*_{C,rel}$ = 40

5 stufige Reihen für konstanten CIELAB Buntton 92/360 = 0.256 (rechts)

Siehe ähnliche Dateien: http://www.ps.bam.de/NG59/
Technische Information: http://www.ps.bam.de Version 2.1, io=1,1

Eingabe: Farbmetrisches Fernseh-Licht-System TLS18

für Buntton $h^* = lab^*h = 162/360 = 0.451$
lab*tch* und *lab*nch

D65: Buntton G
LCH*Ma: 86 60 162
olv*Ma: 0.0 1.0 0.64

Dreiecks-Helligkeit t^*

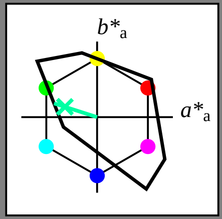

%Umfang
$u^*_{rel} = 118$

TLS18; adaptierte CIELAB-Daten	$L^*=L^*_a$	a^*_a	b^*_a	$C^*_{ab,a}$	$h^*_{ab,a}$
O_{Ma}	52.76	71.63	49.88	87.29	35
Y_{Ma}	92.74	−20.02	84.97	87.3	103
L_{Ma}	84.0	−78.98	73.94	108.2	137
C_{Ma}	87.14	−44.41	−13.11	46.32	196
V_{Ma}	35.47	64.92	−95.06	115.12	304
M_{Ma}	59.01	89.33	−55.67	105.26	328
N_{Ma}	18.01	0.0	0.0	0.0	0
W_{Ma}	95.41	0.0	0.0	0.0	0
R_{CIE}	39.92	58.74	27.99	65.07	25
J_{CIE}	81.26	−2.88	71.56	71.62	92
G_{CIE}	52.23	−42.41	13.6	44.55	162
B_{CIE}	30.57	1.41	−46.46	46.49	272

%Regularität
$g^*_{H,rel} = 22$
$g^*_{C,rel} = 40$

relative Inform. Technology (IT)				
olvi3*	1.0	1.0	1.0	(1.0)
cmyn3*	0.0	0.0	0.0	(0.0)
olvi4*	1.0	1.0	1.0	1.0
cmyn4*	0.0	0.0	0.0	0.0
standard and adapted CIELAB				
LAB*LAB	95.41	0.0	0.0	
LAB*LABa	95.41	0.0	0.0	
LAB*TCHa	99.99	0.01	−	
relative CIELAB lab*				
lab*lab	1.0	0.0	0.0	
lab*tch	1.0	0.0	−	
lab*nch	0.0	0.0	−	
relative Natural Colour (NC)				
lab*lrj	1.0	0.0	0.0	
lab*tce	1.0	0.0	−	
lab*ncE	0.0	0.0	−	

relative Inform. Technology (IT)				
olvi3*	0.75	0.75	0.75	(1.0)
cmyn3*	0.25	0.25	0.25	(0.0)
olvi4*	1.0	1.0	1.0	0.75
cmyn4*	0.0	0.0	0.0	0.25
standard and adapted CIELAB				
LAB*LAB	76.07	0.0	0.0	
LAB*LABa	76.07	0.0	0.0	
LAB*TCHa	75.0	0.01	−	
relative CIELAB lab*				
lab*lab	0.75	0.0	0.0	
lab*tch	0.75	0.0	−	
lab*nch	0.25	0.0	−	
relative Natural Colour (NC)				
lab*lrj	0.75	0.0	0.0	
lab*tce	0.75	0.0	−	
lab*ncE	0.25	0.0	−	

relative Inform. Technology (IT)				
olvi3*	0.5	0.5	0.5	(1.0)
cmyn3*	0.5	0.5	0.5	(0.0)
olvi4*	1.0	1.0	1.0	0.5
cmyn4*	0.0	0.0	0.0	0.5
standard and adapted CIELAB				
LAB*LAB	56.72	0.0	0.0	
LAB*LABa	56.72	0.0	0.0	
LAB*TCHa	50.0	0.01	−	
relative CIELAB lab*				
lab*lab	0.5	0.0	0.0	
lab*tch	0.5	0.0	−	
lab*nch	0.5	0.0	−	
relative Natural Colour (NC)				
lab*lrj	0.5	0.0	0.0	
lab*tce	0.5	0.0	−	
lab*ncE	0.5	0.0	−	

relative Inform. Technology (IT)				
olvi3*	0.25	0.25	0.25	(1.0)
cmyn3*	0.75	0.75	0.75	(0.0)
olvi4*	1.0	1.0	1.0	0.25
cmyn4*	0.0	0.0	0.0	0.75
standard and adapted CIELAB				
LAB*LAB	37.37	0.0	0.0	
LAB*LABa	37.37	0.0	0.0	
LAB*TCHa	25.0	0.01	−	
relative CIELAB lab*				
lab*lab	0.25	0.0	0.0	
lab*tch	0.25	0.0	−	
lab*nch	0.75	0.0	−	
relative Natural Colour (NC)				
lab*lrj	0.25	0.0	0.0	
lab*tce	0.25	0.0	−	
lab*ncE	0.75	0.0	−	

relative Inform. Technology (IT)				
olvi3*	0.0	0.0	0.0	(1.0)
cmyn3*	1.0	1.0	1.0	(0.0)
olvi4*	1.0	1.0	1.0	0.0
cmyn4*	0.0	0.0	0.0	1.0
standard and adapted CIELAB				
LAB*LAB	18.03	0.0	0.0	
LAB*LABa	18.03	0.0	0.0	
LAB*TCHa	0.01	0.01	−	
relative CIELAB lab*				
lab*lab	0.0	0.0	0.0	
lab*tch	0.0	0.0	−	
lab*nch	1.0	0.0	−	
relative Natural Colour (NC)				
lab*lrj	0.0	0.0	0.0	
lab*tce	0.0	0.0	−	
lab*ncE	1.0	0.0	−	

relative Inform. Technology (IT)				
olvi3*	0.75	1.0	0.91	(1.0)
cmyn3*	0.25	0.0	0.09	(0.0)
olvi4*	0.75	1.0	0.91	1.0
cmyn4*	0.25	0.0	0.09	0.0
standard and adapted CIELAB				
LAB*LAB	93.05	−14.2	4.55	
LAB*LABa	93.05	−14.2	4.55	
LAB*TCHa	87.5	14.92	162.24	
relative CIELAB lab*				
lab*lab	0.97	−0.237	0.076	
lab*tch	0.875	0.25	0.451	
lab*nch	0.0	0.25	0.451	
relative Natural Colour (NC)				
lab*lrj	0.97	−0.249	0.0	
lab*tce	0.875	0.25	0.5	
lab*ncE	0.0	0.25	g00b	

relative Inform. Technology (IT)				
olvi3*	0.5	0.75	0.66	(1.0)
cmyn3*	0.5	0.25	0.34	(0.0)
olvi4*	0.75	1.0	0.91	0.75
cmyn4*	0.25	0.0	0.09	0.25
standard and adapted CIELAB				
LAB*LAB	73.71	−14.21	4.56	
LAB*LABa	73.71	−14.21	4.56	
LAB*TCHa	62.5	14.93	162.22	
relative CIELAB lab*				
lab*lab	0.72	−0.237	0.076	
lab*tch	0.625	0.25	0.451	
lab*nch	0.25	0.25	0.451	
relative Natural Colour (NC)				
lab*lrj	0.72	−0.249	0.0	
lab*tce	0.625	0.25	0.5	
lab*ncE	0.25	0.25	j99g	

relative Inform. Technology (IT)				
olvi3*	0.25	0.5	0.41	(1.0)
cmyn3*	0.75	0.5	0.59	(0.0)
olvi4*	0.75	1.0	0.91	0.5
cmyn4*	0.25	0.0	0.09	0.5
standard and adapted CIELAB				
LAB*LAB	54.36	−14.21	4.56	
LAB*LABa	54.36	−14.21	4.56	
LAB*TCHa	37.5	14.93	162.22	
relative CIELAB lab*				
lab*lab	0.47	−0.237	0.076	
lab*tch	0.375	0.25	0.451	
lab*nch	0.5	0.25	0.451	
relative Natural Colour (NC)				
lab*lrj	0.47	−0.249	0.0	
lab*tce	0.375	0.25	0.5	
lab*ncE	0.5	0.25	j99g	

relative Inform. Technology (IT)				
olvi3*	0.0	0.25	0.16	(1.0)
cmyn3*	1.0	0.75	0.84	(0.0)
olvi4*	0.75	1.0	0.91	0.25
cmyn4*	0.25	0.0	0.09	0.75
standard and adapted CIELAB				
LAB*LAB	35.01	−14.2	4.56	
LAB*LABa	35.01	−14.2	4.56	
LAB*TCHa	12.5	14.93	162.21	
relative CIELAB lab*				
lab*lab	0.22	−0.237	0.076	
lab*tch	0.125	0.25	0.451	
lab*nch	0.75	0.25	0.451	
relative Natural Colour (NC)				
lab*lrj	0.22	−0.249	0.0	
lab*tce	0.125	0.25	0.5	
lab*ncE	0.75	0.25	j99g	

relative Inform. Technology (IT)				
olvi3*	0.5	1.0	0.82	(1.0)
cmyn3*	0.5	0.0	0.18	(0.0)
olvi4*	0.5	1.0	0.82	1.0
cmyn4*	0.5	0.0	0.18	0.0
standard and adapted CIELAB				
LAB*LAB	90.7	−28.42	9.11	
LAB*LABa	90.7	−28.42	9.11	
LAB*TCHa	75.0	29.85	162.23	
relative CIELAB lab*				
lab*lab	0.939	−0.475	0.153	
lab*tch	0.75	0.5	0.451	
lab*nch	0.0	0.5	0.451	
relative Natural Colour (NC)				
lab*lrj	0.939	−0.499	0.0	
lab*tce	0.75	0.5	0.5	
lab*ncE	0.0	0.5	g00b	

relative Inform. Technology (IT)				
olvi3*	0.25	0.75	0.57	(1.0)
cmyn3*	0.75	0.25	0.43	(0.0)
olvi4*	0.5	1.0	0.82	0.75
cmyn4*	0.5	0.0	0.18	0.25
standard and adapted CIELAB				
LAB*LAB	71.36	−28.42	9.12	
LAB*LABa	71.36	−28.42	9.12	
LAB*TCHa	50.0	29.86	162.22	
relative CIELAB lab*				
lab*lab	0.689	−0.475	0.153	
lab*tch	0.5	0.5	0.451	
lab*nch	0.25	0.5	0.451	
relative Natural Colour (NC)				
lab*lrj	0.689	−0.499	0.0	
lab*tce	0.5	0.5	0.5	
lab*ncE	0.25	0.5	j99g	

relative Inform. Technology (IT)				
olvi3*	0.0	0.5	0.32	(1.0)
cmyn3*	1.0	0.5	0.68	(0.0)
olvi4*	0.5	1.0	0.82	0.5
cmyn4*	0.5	0.0	0.18	0.5
standard and adapted CIELAB				
LAB*LAB	52.01	−28.42	9.12	
LAB*LABa	52.01	−28.42	9.12	
LAB*TCHa	25.01	29.86	162.22	
relative CIELAB lab*				
lab*lab	0.439	−0.475	0.153	
lab*tch	0.25	0.5	0.451	
lab*nch	0.5	0.5	0.451	
relative Natural Colour (NC)				
lab*lrj	0.439	−0.499	0.0	
lab*tce	0.25	0.5	0.5	
lab*ncE	0.5	0.5	j99g	

relative Inform. Technology (IT)				
olvi3*	0.25	1.0	0.73	(1.0)
cmyn3*	0.75	0.0	0.27	(0.0)
olvi4*	0.25	1.0	0.73	1.0
cmyn4*	0.75	0.0	0.27	0.0
standard and adapted CIELAB				
LAB*LAB	88.35	−42.63	13.67	
LAB*LABa	88.35	−42.63	13.67	
LAB*TCHa	62.5	44.78	162.23	
relative CIELAB lab*				
lab*lab	0.909	−0.713	0.229	
lab*tch	0.625	0.75	0.451	
lab*nch	0.0	0.75	0.451	
relative Natural Colour (NC)				
lab*lrj	0.909	−0.749	0.0	
lab*tce	0.625	0.75	0.5	
lab*ncE	0.0	0.75	g00b	

relative Inform. Technology (IT)				
olvi3*	0.0	0.75	0.48	(1.0)
cmyn3*	1.0	0.25	0.52	(0.0)
olvi4*	0.25	1.0	0.73	0.75
cmyn4*	0.75	0.0	0.27	0.25
standard and adapted CIELAB				
LAB*LAB	69.01	−42.64	13.68	
LAB*LABa	69.01	−42.64	13.68	
LAB*TCHa	37.51	44.79	162.22	
relative CIELAB lab*				
lab*lab	0.659	−0.713	0.229	
lab*tch	0.375	0.75	0.451	
lab*nch	0.25	0.75	0.451	
relative Natural Colour (NC)				
lab*lrj	0.659	−0.749	0.0	
lab*tce	0.375	0.75	0.5	
lab*ncE	0.25	0.75	j99g	

relative Inform. Technology (IT)				
olvi3*	0.0	1.0	0.64	(1.0)
cmyn3*	1.0	0.0	0.36	(0.0)
olvi4*	0.0	1.0	0.64	1.0
cmyn4*	1.0	0.0	0.36	0.0
standard and adapted CIELAB				
LAB*LAB	86.0	−56.85	18.23	
LAB*LABa	86.0	−56.85	18.23	
LAB*TCHa	50.0	59.71	162.23	
relative CIELAB lab*				
lab*lab	0.878	−0.951	0.305	
lab*tch	0.5	1.0	0.451	
lab*nch	0.0	1.0	0.451	
relative Natural Colour (NC)				
lab*lrj	0.878	−0.999	0.0	
lab*tce	0.5	1.0	0.5	
lab*ncE	0.0	1.0	g00b	

1,00
0,75
0,25
0,00

$n^* = 0,00$
$n^* = 0,25$
$n^* = 0,50$
$n^* = 1,0$

Schwarzheit n^*

0,25 0,50 0,75 1,00

relative Buntheit c^*

NG590−7, 5 stufige Reihen für konstanten CIELAB Buntton 162/360 = 0.451 (links)

Ausgabe: Farbmetrisches Fernseh-Licht-System TLS18

für Buntton $h^* = lab^*h = 162/360 = 0.451$
lab*tch* und *lab*nch

D65: Buntton G
LCH*Ma: 86 60 162
olv*Ma: 0.0 1.0 0.64

Dreiecks-Helligkeit t^*

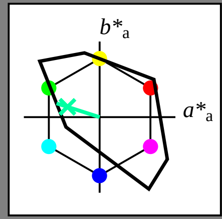

%Umfang
$u^*_{rel} = 118$

TLS18; adaptierte CIELAB-Daten	$L^*=L^*_a$	a^*_a	b^*_a	$C^*_{ab,a}$	$h^*_{ab,a}$
O_{Ma}	52.76	71.63	49.88	87.29	35
Y_{Ma}	92.74	−20.02	84.97	87.3	103
L_{Ma}	84.0	−78.98	73.94	108.2	137
C_{Ma}	87.14	−44.41	−13.11	46.32	196
V_{Ma}	35.47	64.92	−95.06	115.12	304
M_{Ma}	59.01	89.33	−55.67	105.26	328
N_{Ma}	18.01	0.0	0.0	0.0	0
W_{Ma}	95.41	0.0	0.0	0.0	0
R_{CIE}	39.92	58.74	27.99	65.07	25
J_{CIE}	81.26	−2.88	71.56	71.62	92
G_{CIE}	52.23	−42.41	13.6	44.55	162
B_{CIE}	30.57	1.41	−46.46	46.49	272

%Regularität
$g^*_{H,rel} = 22$
$g^*_{C,rel} = 40$

(relative Inform. Technology (IT), standard and adapted CIELAB, relative CIELAB lab*, relative Natural Colour (NC) data boxes identical to the left side)

$n^* = 0,00$
$n^* = 0,25$
$n^* = 0,50$
$n^* = 1,0$

Schwarzheit n^*

0,25 0,50 0,75 1,00

relative Buntheit c^*

5 stufige Reihen für konstanten CIELAB Buntton 162/360 = 0.451 (rechts)

BAM-Registrierung: 20060101-NG59/10S/S59G08NP.PS/.PDF BAM-Material: Code=rha4ta
Anwendung für Beurteilung und Messung von Drucker− oder Monitorsystemen
/NG59/ Form: 9/10, Serie: 1/1, Seite: 9
Seitenz hlung 9

Siehe ähnliche Dateien: http://www.ps.bam.de/NG59/
Technische Information: http://www.ps.bam.de Version 2.1, io=1,1

BAM-Registrierung: 20060101-NG59/10S/S59G09NP.PS/.PDF BAM-Material: Code=rha4ta
Anwendung für Beurteilung und Messung von Drucker– oder Monitorsystemen
/NG59/ Form: 10/10Serie: 1/1, Seite: 10 Sattenz hlung 10

Eingabe: Farbmetrisches Fernseh-Licht-System TLS18

für Buntton *h* = lab*h = 272/360 = 0.755*
lab*tch* und *lab*nch

D65: Buntton B
LCH*Ma: 65 48 272
olv*Ma: 0.0 0.58 1.0

Dreiecks-Helligkeit *t**

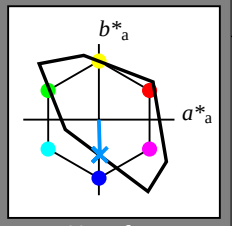

%Umfang
u^*_{rel} = 118

TLS18; adaptierte CIELAB-Daten

	$L^*=L^*_a$	a^*_a	b^*_a	$C^*_{ab,a}$	$h^*_{ab,a}$
O_{Ma}	52.76	71.63	49.88	87.29	35
Y_{Ma}	92.74	−20.02	84.97	87.3	103
L_{Ma}	84.0	−78.98	73.94	108.2	137
C_{Ma}	87.14	−44.41	−13.11	46.32	196
V_{Ma}	35.47	64.92	−95.06	115.12	304
M_{Ma}	59.01	89.33	−55.67	105.26	328
N_{Ma}	18.01	0.0	0.0	0.0	0
W_{Ma}	95.41	0.0	0.0	0.0	0
R_{CIE}	39.92	58.74	27.99	65.07	25
J_{CIE}	81.26	−2.88	71.56	71.62	92
G_{CIE}	52.23	−42.41	13.6	44.55	162
B_{CIE}	30.57	1.41	−46.46	46.49	272

%Regularität
$g^*_{H,rel}$ = 22
$g^*_{C,rel}$ = 40

NG590−7, 5 stufige Reihen für konstanten CIELAB Buntton 272/360 = 0.755 (links)

Ausgabe: Farbmetrisches Fernseh-Licht-System TLS18

für Buntton *h* = lab*h = 272/360 = 0.755*
lab*tch* und *lab*nch

D65: Buntton B
LCH*Ma: 65 48 272
olv*Ma: 0.0 0.58 1.0

Dreiecks-Helligkeit *t**

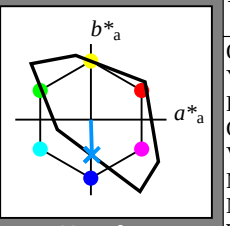

%Umfang
u^*_{rel} = 118

TLS18; adaptierte CIELAB-Daten

	$L^*=L^*_a$	a^*_a	b^*_a	$C^*_{ab,a}$	$h^*_{ab,a}$
O_{Ma}	52.76	71.63	49.88	87.29	35
Y_{Ma}	92.74	−20.02	84.97	87.3	103
L_{Ma}	84.0	−78.98	73.94	108.2	137
C_{Ma}	87.14	−44.41	−13.11	46.32	196
V_{Ma}	35.47	64.92	−95.06	115.12	304
M_{Ma}	59.01	89.33	−55.67	105.26	328
N_{Ma}	18.01	0.0	0.0	0.0	0
W_{Ma}	95.41	0.0	0.0	0.0	0
R_{CIE}	39.92	58.74	27.99	65.07	25
J_{CIE}	81.26	−2.88	71.56	71.62	92
G_{CIE}	52.23	−42.41	13.6	44.55	162
B_{CIE}	30.57	1.41	−46.46	46.49	272

%Regularität
$g^*_{H,rel}$ = 22
$g^*_{C,rel}$ = 40

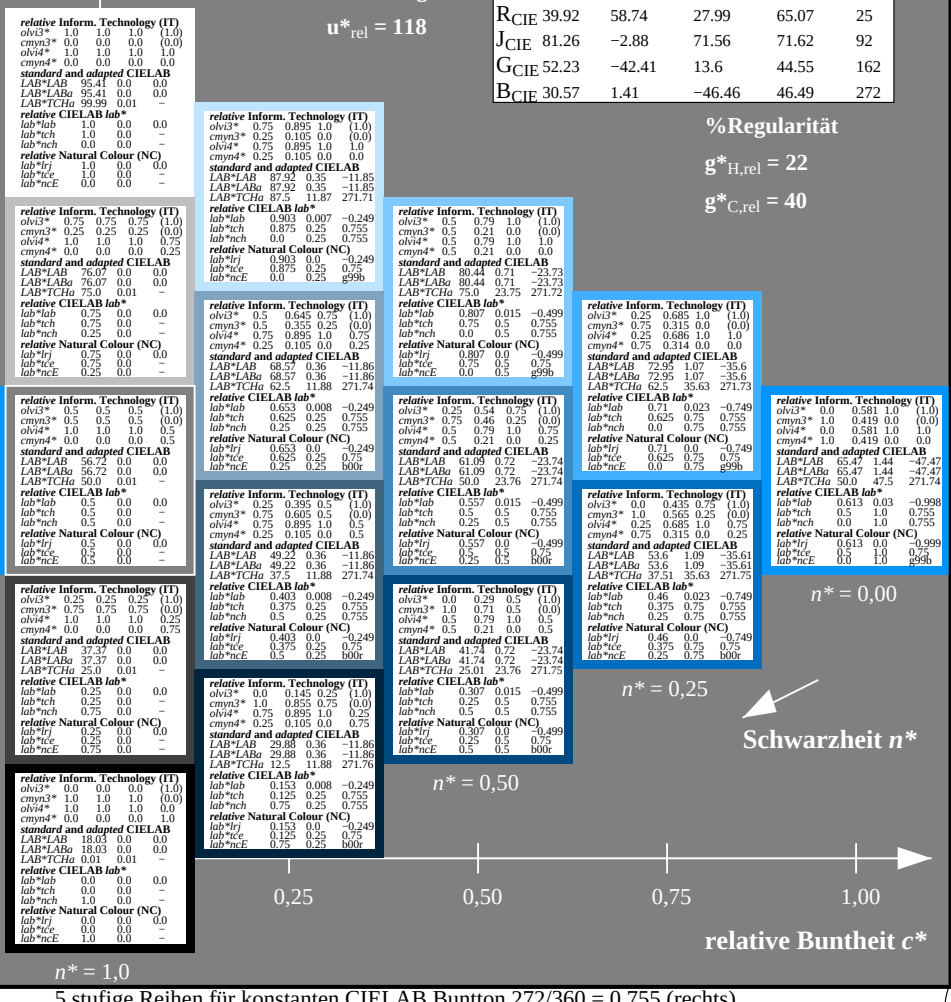

5 stufige Reihen für konstanten CIELAB Buntton 272/360 = 0.755 (rechts)